

## СОСТАВ И СТРУКТУРА ГИДРОСИЛИКАТОВ, ПОЛУЧАЕМЫХ МЕХАНОХИМИЧЕСКИМ СИНТЕЗОМ ИЗ ПОРТЛАНДЦЕМЕНТА, МОДИФИЦИРОВАННОГО САХАРОЗОЙ

Shoshin234@mail.ru

В статье рассматривается элементный состав и структура продуктов механохимического синтеза модифицированных силикатов кальция из цементного сырья. Установлено, что и модифицированные сахарозой гидросиликаты кальция, и продукты их термолиза отличаются аморфной структурой. Получены косвенные свидетельства того, что модифицирующий углевод располагается в аморфной фазе.

**Ключевые слова:** портландцемент, гидросиликаты, механохимический синтез, элементный состав, термолиз, наночастицы, кристаллическая структура.

Последние два десятилетия наблюдается резкий рост интереса исследователей различных научных направлений к гелевым фазам цементного камня (так называемые C-S-H-фазы). С одной стороны, это связано с обнаружениемnanoструктурных неоднородностей в цементном геле [1, 2], возникновение которых связывают, в том числе, с бивариантным течением процессов полимеризации силикатов кальция, приводящих к образованию дженнит- и тоберморит-подобных структур [3]. Обнаружение в составе цементного геля силикатов кальция низкой и высокой плотности [4] дало не только новое понимание накопленного экспериментального материала (например, [5–7]), но и ключ к управлению физико-механическими свойствами цементного геля на nanoуровне (например, [7, 8]).

С другой стороны, была обнаружена способность тоберморитовых фаз к специфической адсорбции различных органических агентов, в результате чего сформировалось новое направление синтеза и применения силикатных адсорбентов [9, 10] и других материалов [11]. В большинстве случаев тоберморитовые фазы получают прямым синтезом (например, гидротермальным [10]), цемент же как сырье для получения тоберморитовых фаз не рассматривается, т.к. содержит значительное количество вспомогательных компонентов (алюминатные фазы, сульфат кальция). В то же время, проведенные ранее исследования показали, что модифицированные углеводами гидросиликаты цемента могут служить сырьем для получения минеральных дисперсий с высокой удельной поверхностью [12]. Учитывая выше сказанное, возникла необходимость более подробно исследовать структуру модифицированных углеводами гидросиликатов цемента, получаемых из портландцемента механохимическим способом.

Ранее было показано, что в условиях механохимического синтеза в присутствие изомерных дисахаридов сахарозы, мальтозы, лактозы образуются идентичные (как по морфологическим, так и по физико-химическим свойствам) продукты гидратации [13], в связи с чем в настоящем исследовании в качестве модифицирующего углевода была выбрана сахароза, как углевод, чье действие на силикатные системы наиболее изучено [5, 14] а сам углевод – наиболее доступен.

Механохимический синтез проводился в планетарной мельнице МП/0,5х4 (частота вращения стакана 280–300 об/мин, длительность синтеза 1,5 часа) при В/Ц=4/1 с целью предотвращения эффектов стеснения, получения максимально гидратированных продуктов и ускорения гидратации цемента. Минеральным сырьем для синтеза являлся портландцемент ПЦ 500-Д0 ОOO "Холсим (Рус)" ГОСТ 10178-85. Водной фазой служил раствор сахарозы при концентрации последней 2 % от массы цемента.

Структурные исследования наночастиц контролировались с помощью просвечивающего электронного микроскопа (ПЭМ) CarlZeiss Libra 120, оборудованного приставкой для SAED-анализа. ПЭМ-исследование проводилось в ЦКП «Симбиоз» Института биохимии и физиологии растений и микроорганизмов РАН, г. Саратов.

Изменения фазового состава модифицированного цементного камня фиксировались с помощью рентгеновского дифрактометра ARLX'tra (médный анод ( $\lambda(\text{Cu K}\alpha)$ ) = 1.541 Å, параметры съемки: напряжение 40 кВ и ток 40 мА) научно-образовательного центра по нанотехнологиям и наноматериалам СГТУ имени Гагарина Ю.А., г. Саратов.

Элементный состав продуктов механохимического синтеза определялся с использованием

сканирующего электронного микроскопа с полевым катодом JEOL JSM 7001FA, оборудованным EDS-приставкой (ЦКП ФИАН, г. Москва).

Образующиеся после отделения из реакционной массы твердой фазы фильтраты были подвергнуты количественному анализу на наличие в них остаточной сахарозы (спектрофотометрический метод по ГОСТ 32080-2013). Остаточное содержание сахарозы составило 0,0052 %, что соответствует 0,22 % исходного количества сахарозы.

### Результаты элементного анализа образцов МГС цемента. Источник: [15]

Элемент	Весовой, %	Атомный, %	Элемент	Весовой, %	Атомный, %
Контрольный образец					
C	2.35	4.20	Na	0.16	0.15
O	48.99	65.76	Mg	1.33	1.17
Al	2.17	1.73	S	0.98	0.66
Si	13.47	10.30	K	0.62	0.34
Ca	27.63	14.81	Fe	2.30	0.88
Модификатор сахароза					
C	3.19	5.71	Na	0.12	0.11
O	47.90	64.35	Mg	1.27	1.12
Al	2.03	1.62	S	1.22	0.82
Si	12.77	9.77	K	0.53	0.29
Ca	28.35	15.20	Fe	2.62	1.01

Из результатов элементного анализа образцов гидросиликатов следует, что Ca/Si-отношение продуктов гидратации в присутствие сахарозы выше чем в контрольном образце ( $\text{Ca/Si}=2,22$  в МГС против  $\text{Ca/Si}=2,05$  в контрольном образце), что связано, по-видимому, с образованием в контрольном образце значительных количеств компактной кристаллической фазы  $\text{Ca}(\text{OH})_2$  (портландит), тогда как в присутствие сахарозы портландит образуется в незначительных количествах [13]. Опираясь на данные элементного анализа возможно оценить состав образующихся в ходе механохимического синтеза силикатов. При этом следует учитывать, что EDS-спектроскопия оценивает состояние поверхностного слоя образца, где эффекты карбонизации проявляются наиболее ярко, а следовательно, необходимо учесть, что при карбонизации связывается кальций, входящий в состав гидросиликатов [16] и, одновременно, вместе с  $\text{CO}_2$  в систему привносится кислород. Таким образом, брутто-формула гидросиликатов в контрольном (немодифицированном) образце будет иметь вид:  $10 \text{SiO}_2 \cdot 15\text{CaO} \cdot 18\text{H}_2\text{O}$ ; состав МГС цемента описываются брутто-формулой  $10\text{SiO}_2 \cdot 15\text{CaO} \cdot 16\text{H}_2\text{O}$ . Как видно из приведенных брутто-формул, различия между модифицированными и немодифицированными гидросиликатами цемента наблюдаются лишь в содержании структурной воды, содержание которой в

иными словами, наблюдается почти количественная абсорбция сахарозы продуктами синтеза.

Полученный продукт-сырец подвергался окончательной сушке в сушильном шкафу при остаточном давлении 0,2–0,3 кГ/см<sup>2</sup> и температуре 40–50 °C в течение 3 часов. Методом EDS-спектроскопии (СЭМ) был определен элементный состав полученных гидросиликатов цемента контрольного образца и гидросиликатов цемента, модифицированных сахарозой (табл. 1).

Таблица 1

присутствие сахарозы на 12 % ниже. Последнее может быть объяснено эффектом замещения структурной воды молекулами сахарозы, которые обладая значительным количеством экваториальных OH-групп, способных встраиваться в сетку водородных связей воды почти без ее искаżenia [17, 18], при этом гидратная оболочка сахарозы неразвита и легко разрушается [17], как следствие, сама сахароза практически не сорбирует влагу [19]. Учитывая, что структурная вода располагается в межслоевом пространстве слоистых гидросиликатов, полученные данные косвенно указывают на возможное расположение сахарозы именно в межслоевом пространстве слоистых гидросиликатов. В цементном камне слоистыми силикатами выступают тоберморитовые фазы, которым отвечают определенные кристаллические структуры (табл. 2). Однако присутствие тоберморитовых фаз в продуктах синтеза не обнаружено (рис. 1в).

Кроме того, следует учитывать возможность стабилизации этtringитовых фаз углеводами [21], в связи с чем возникает вопрос о принадлежности призматических частиц, составляющих основную часть реакционной массы механохимического синтеза [13], к этtringитовым фазам. Учитывая все эти аспекты, было предпринято исследование продуктов механохимического синтеза методом SAED-анализа, представляющего

собой режим электронной дифракции с выделенным участком поверхности, реализованный в

ПЭМ. Высокая локальность данного метода анализа позволила идентифицировать индивидуальную частицу (рис. 2а).

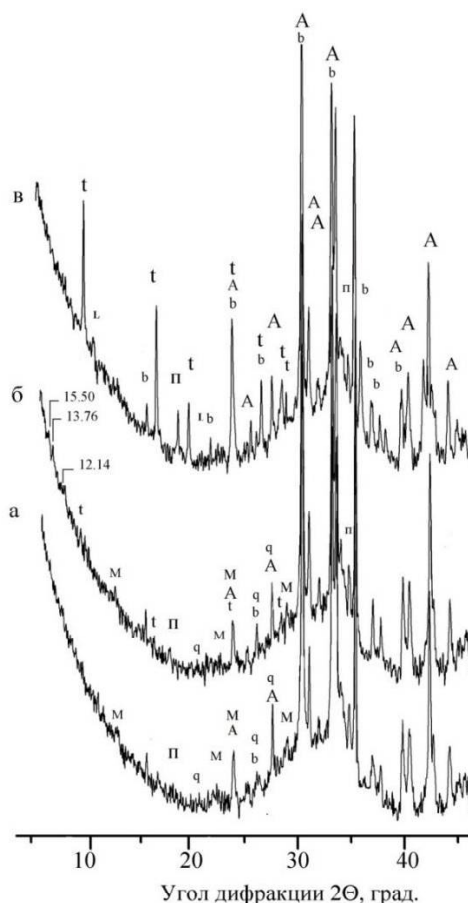


Рис. 1. Дифрактограммы образцов МГС цемента.  
a – ТО 200 °С; б – ТО 150 °С; в – сушка при 50 °С.

А – алит [20 (11-593), б –  $\gamma$ -белит [20 (31-297)], т – этtringитовые фазы [20 (19-223), [9-414]], π – портландит [20 (4-733)]; Возможно присутствие: q – кварц [20 (5-495)],  
L – алюминат  $3\text{CaO} \cdot \text{Al}_2\text{O}_3 \cdot 6\text{H}_2\text{O}$  [20 (12-8)], M – алюминат  $\text{Ca}_3\text{Al}_2\text{O}_{13} \cdot x\text{H}_2\text{O}$  [20 (2-83)]

**Наиболее интенсивные аналитические линии фаз [20]**

**Таблица 2**

Соединение (фаза)	Ссылка по [20]	2θ (град) /Интенсивность (балл)			
		J <sub>1</sub>	J <sub>2</sub>	J <sub>3</sub>	J <sub>4</sub>
Алит $\text{Ca}_3\text{SiO}_5$	[11-593]	32,42/ 100	32,68/ 90	34,62/ 90	41,60/ 90
Белит $\gamma\text{-Ca}_2\text{SiO}_4$	[31-297]	32,8/ 100	29,68/ 80	32,52/ 70	32,92/ 100
Этtringит железистый $\text{Ca}_6\text{Fe}_2(\text{SO}_4)_3(\text{OH})_{12} \cdot 25\text{-}27\text{H}_2\text{O}$	[19-223]	9,02/ 100	22,5/ 80	15,84/ 70	32,0/ 70
Портландит $\text{Ca}(\text{OH})_2$	[4-733]	34,08/ 100	18,1/ 74	47,10/ 42	50,84/ 36
кварц	[5-490]	26,0/100	20,84/35	36,56/12	50,20/17
$3\text{CaO} \cdot \text{Al}_2\text{O}_3 \cdot 6\text{H}_2\text{O}$	[12-8]	9,92/ 100	20,36/ 65	30,20/ 20	18,10/ 13
$\text{Ca}_3\text{Al}_2\text{O}_{13} \cdot x\text{H}_2\text{O}$	[2-83]	11,56/ 100	23,60/ 90	31,26/ 70	39,0/ 60
Тоберморит 12 $\text{A}^\circ$	[6-0010]	7,08/ 100	29,08/ 100	32,0/ 80	49,84/ 80
Тоберморит 11 $\text{A}^\circ$	[19-1364]	7,80/ 80	31,72/ 40	30,0/ 65	49,83/ 40
Тоберморит 14 $\text{A}^\circ$	[29-331]	6,30/ 100	29,08/ 65	29,90/ 45	31,84/ 30
Тоберморит 9 $\text{A}^\circ$	[10-374]	29,4/ 100	18,36/ 80	18,36/ 80	28,24/ 70

Данные SAED-анализа свидетельствуют об отсутствии кристаллической структуры призматических частиц (рис. 2б), на основании чего

можно однозначно утверждать, что массово образующиеся в ходе механохимического синтеза призматические частицы обладают аморфной

структурой, а следовательно, не являются эттригитовыми фазами. В то же время, тоберморитовые фазы, входящие в состав CSH (I)-геля цементного камня [21] находятся в слабозакристал-

лизованном состоянии, и именно слабозакристаллизованные фазы формируют на рентгеновских дифрактограммах широкие малоинтенсивные сигналы [22, 23], хорошо заметные и на SAED-снимках (рис. 2б).

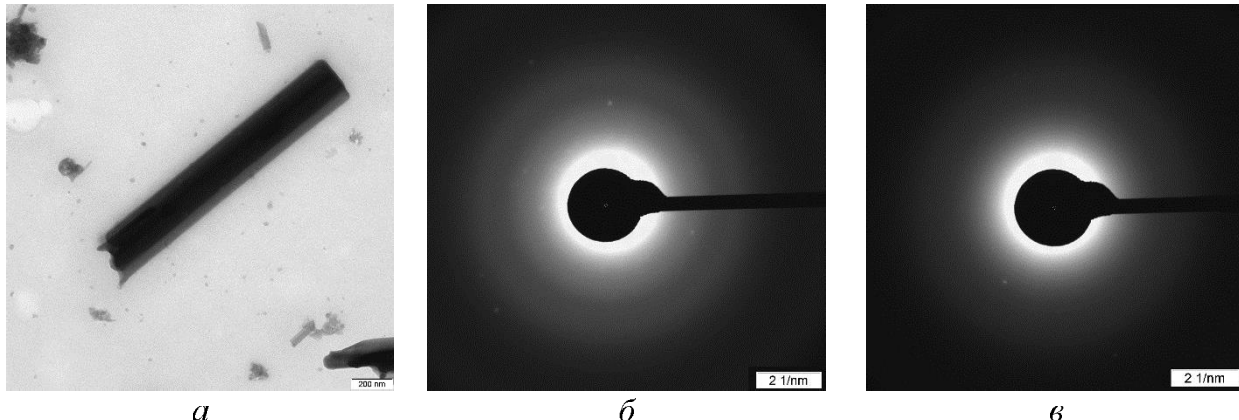


Рис. 2. Результаты SAED-анализа продуктов механохимического синтеза МГС-цемента.  
а – призматическая частица, подвергнутая анализу, б – электронно-дифракционная картина, полученная с данной частицы, в – фоновое рассеивание подложки

Формирование сферических частиц субмикронного и нанодиапазона происходит в процессе термообработки полученных МГС цемента. Фазовые изменения, сопровождающие термообработку (ТО) МГС цемента представлены на рис. 1 а, б. Анализ дифрактограммы исходных МГС цемента (рис. 1в) показывает, что в системе присутствуют как слабозакристаллизованные фазы (гало в области углов  $2\Theta=25-40$  град.), так и кристаллические фазы (этtringиты (в том числе и железистый как следствие износа мельющих тел), портландит, алюминаты, исходные силикаты клинкера), при этом сигналы тоберморитовых фаз либо отсутствуют, либо их содержание ниже порога определения данным методом.

Термообработка МГС цемента при  $150$  °C сопровождается предсказуемым разрушением этtringитовых фаз, трансформацией алюмината  $3\text{CaO Al}_2\text{O}_3 \cdot 6\text{H}_2\text{O}$  в форму  $\text{Ca}_3\text{Al}_2\text{O}_{13} \cdot x\text{H}_2\text{O}$ , параллельно снижается интенсивность сигнала

портландита (рис. 1б). Одновременно на дифрактограмме наблюдается присутствие серии слабых сигналов, отвечающих межплоскостным расстояниям  $12-15$  Å, однако эти сигналы могут отвечать, как тоберморитовым фазам, так и алюминатам, более точное отнесение фаз невозможно в силу низкой интенсивности указанных сигналов. Также на дифрактограмме присутствуют следы этtringитовых фаз (рис. 1б). Дальнейшее увеличение температуры ТО до  $200$  °C приводит к почти полному исчезновению сигналов в области  $2\Theta=6-10$  град, дальнейшему снижению интенсивности сигналов портландита и полному исчезновению сигналов этtringитовых фаз (рис. 1а). Дополнительные исследования продуктов термолиза МГС цемента методом SAED-анализа свидетельствуют, что образующиеся агрегированные частицы также не имеют кристаллической структуры (рис. 3).

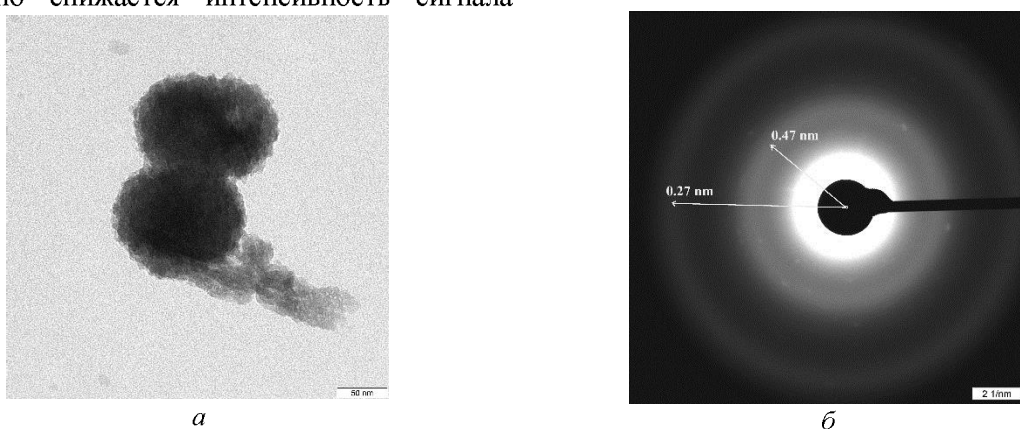


Рис. 3. Результаты SAED-анализа продуктов термолиза МГС цемента:  
а – агрегированная частица в составе продуктов термолиза МГС цемента;  
б – дифрактограмма агрегированной частицы

Таким образом, механохимический синтез модифицированных гидросиликатов кальция из цементного сырья сопровождается образованием преимущественно аморфных продуктов; кристаллические структуры образуют некремнийсодержащие фазы (этtringиты, портландит, алюминаты), а также непрореагировавшие частицы цементного клинкера. Причина этого, видимо, кроется в сильно неравновесных условиях проведения механохимического синтеза гидросиликатов. Высокое пересыщение раствора по  $\text{SiO}_2$  в сочетании с присутствием ионов кальция, снижающих растворимость силикатов, приводят к преимущественному образованию зародышевой фазы, не имеющей выраженной кристаллической структуры [24]. Приведенные выше данные позволяют предположить, что сахароза располагается именно в составе слабозакристаллизованных фаз. Однако используемые в работе методы исследования, к сожалению, не позволяют однозначно утверждать этого. Применение высокинформативных методов исследования позволило установить, что образующиеся в ходе термолиза модифицированных гидросиликатов цемента агрегированные частицыnano- и субмикронного размера также обладают аморфной структурой, что скорее всего связано с присутствием в их структуре углевода, выполняющего, видимо, роль стабилизатора дисперской фазы. Аморфная структура агрегированных частиц (продуктов термолиза МГС) позволяет предполагать их повышенную химическую активность и высокую активность в процессах структурообразования цементных систем.

## БИБЛИОГРАФИЧЕСКИЙ СПИСОК

1. Jennings H.M. A model for the microstructure of calcium silicate hydrate in cement paste // Cem. Concr. Res. 2000. Vol. 30. P. 101–116.
2. Tennis P.D., Jennings H.M. A model for two types of calcium silicate hydrate in the microstructure of Portland cement pastes // Cem. Concr. Res. 2000. №30. P. 855–863.
3. Manzano H., Ayuela A. and Dolado J.S. On the formation of cementitious C–S –H nanoparticles // Comp.-Aided Mater. Design. 2007. №14. P. 45–51.
4. Tennis P.D., Jennings H.M. A model for two types of calcium silicate hydrate in the microstructure of Portland cement pastes // Cem. Concr. Res. 2000. №30. P. 855–863.
5. Maria C. Garci Juenger, Hamlin M. Jennings. New insights into the effects of sugar on the hydration and microstructure of cement pastes // Cement and Concrete Research. 2002. V. 32, Iss. 3. P. 393–399.

6. Баженов Ю.М., Демьянова В.С., Калашников В.И. Модифицированные высококачественные бетоны. М.: Изд-во ACB, 2006. 368 с.

7. Raki L., Beaudois J., Alizadeh R., Makar J., Sato T. Cement and Concrete Nanoscience and Nanotechnology-review // Materials. 2010. №3. P. 918–942.

8. Matthieu Vandammea, Franz-Josef Ulm, Philip Fonollosa. Nanogranular packing of C–S–H at substochiometric conditions // Cement and Concrete Research. 2010. №40. P. 14–26.

9. Lu Zeng, Ligang Yang, Shuping Wang, and Kai Yang. Synthesis and characterization of different crystalline calcium silicate hydrate: application for the removal of aflatoxin B1 from aqueous solution // Journal of Nanomaterials. 2014., Article ID 431925, 10 pages. Систем. требования: Adobe AcrobatReader. [Электронный ресурс]. URL: <http://dx.doi.org/10.1155/2014/431925>

10. Лебедева Е.Ю., Кобякова А.А., Усова Н.Т., Казьмина О.В. Синтез тоберморитового адсорбента для очистки воды // Известия Томского политехнического университета. 2014. Т. 324. №3. С. 137–141.

11. Hiroyoshi Matsuyama and J. Francis Young. Intercalation of polymers in calcium silicate hydrate: anew synthetic approach to biocomposites? // Chem. Mater. 1999. №11. P. 16–19.

12. Шошин Е.А. Силикатные наполнитель, получаемый методом термолиза модифицированных гидросиликатов цемента // Строительные материалы. 2017. №7. С. 16–19.

13. Шошин Е.А., Поляков А.В., Былинкина Н.Н., Буров А.М. Микроскопическое исследование продуктов термической дегидратации модифицированных цементных гидросиликатов // Вестник БГТУ им. В.Г. Шухова. 2016. №1. С. 18–25.

14. Benjamin J. Smitha, Aditya Rawala, Gary P. Funkhouser, Lawrence R. Robertsc, Vijay Guptad, Jacob N. Israelachvilia,1, and Bradley F. Chmelka. Origins of saccharide-dependent hydration at aluminate, silicate, and aluminosilicate surfaces // PNAS. 2011. Vol. 108. № 22. P. 8949–8954.

15. Шошин Е.А., Иващенко Ю.Г. Исследование состава цементных гидросиликатов, модифицированных изомерными дисахаридами // Региональная архитектура и строительство. 2016. №. 3. С. 50–54.

16. Ikeda Y., Yasuike Y., Kumagai M., Park Y.-Y., Harada M., Tomiyasu H., Takashima Y. 29Si MAS NMR Study on Structural Change of Silicate Anions with Carbonation of Synthetic 11 Å Tobermorite // Journal of the Ceramic Society of Japan. 1992. V.100. (9). p. 1098–1102.

- 17.Научные основы химической технологии углеводор. Отв. ред. А.Г. Захаров. М.: Издательство ЛКИ, 2008. 528 с.
- 18.Galema Saskia A., Hailand H. Stereochemical aspects of hydration of carbohydrates in aqueous solutions. 3. Density and ultrasound measurements // J . Phys. Chem. 1991, vol. 95. Pp. 5321–5326.
- 19.Нечаев А.П., Траубенберг С.Е., Кочеткова А.А. и др. Пищевая химия. / Под ред. Нечеевой А.П. Изд. 4-е, испр. и доп. СПб.: ГИОРД, 2007. 640с.
- 20.Powder Diffraction File, Inorganic, JCPDS-Swartwore, Pennsylvanie, USA – 1987.
- 21.Рамачандран В.С., Фельдман Р.Ф., Бодуэн Дж. Наука о бетоне: Физико-химическое бетоноведение. Под ред. В.Б. Ратинова. М.: Стройиздат, 1986. 278 с.
- 22.Jeffry J. Chen, Jeffry J. Thomas, Hal F.W. Taylor, Hamlin M. Solubility and structure of calcium silicate hydrate // Cement and Concrete Research. 2004. V. 34. Pp. 1499–1519.
- 23.Шошин Е. А., Тимохин Д. К. Влияние органических добавок на характер кристаллизации цементного геля / Прогрессивные материалы и технологии в современном строительстве: сб. науч. тр. международ. науч.-практ. конф. // Новосибирский гос. аграрн. Университет, Новосибирск, 2007. С. 169–173.
- 24.Шабанова Н. А., Саркисов П.Д. Основы золь-гель технологии нанодисперсного кремнезема. М.: ИКЦ «Академкнига», 2004. 208 с.

*Информация об авторах*

**Шошин Евгений Александрович**, кандидат технических наук, доцент кафедры строительных материалов и технологий.

E-mail: shoshin234@mail.ru

Саратовский государственный технический университет имени Гагарина Ю.А.  
Россия, 410054, г. Саратов, ул. Политехническая, д. 77.

**Поляков Андрей Владимирович**, кандидат технических наук, доцент кафедры экспертизы и управления недвижимостью.

E-mail: polyakovsgtu@mail.ru

Саратовский государственный технический университет имени Гагарина Ю.А.  
Россия, 410054, г. Саратов, ул. Политехническая, д. 77.

*Поступила в декабре 2017 г.*

© Шошин Е.А., Поляков А.В., 2018

**E.A. Shoshin, A.V. Polyakov**

**THE COMPOSITION AND STRUCTURE OF HYDROSILICATES OBTAINED  
MECHANOCHEMICAL SYNTHESIS OF PORTLAND CEMENT, MODIFIED SUCROSE**

*Elemental composition and structure of products mechano-chemical synthesis of modified calcium silicates from cement raw material discussed in the article. The method SAED spectroscopy determined, that both calcium hydro-silicates modified with sucrose and the products of their thermolysis have a crystalline structure amorphous. There are indirect evidence that modifying the carbohydrate is in the amorphous phase.*

**Keywords:** portland cement, hydrosilicates, mechano-chemical synthesis, elemental composition, thermolysis, nanoparticles, crystal structure

*Information about the authors*

**Evgeny A. Shoshin**, PhD, Assistant professor.

E-mail: shoshin234@mail.ru

Yuri Gagarin State Technical University of Saratov.  
Russia, 410054, Saratov, Politekhnicheskaya st. 77.

**Andrey V. Polyakov**, PhD, Assistant professor.

E-mail: polyakovsgtu@mail.ru

Yuri Gagarin State Technical University of Saratov.  
Russia, 410054, Saratov, Politekhnicheskaya st. 77.

*Received in December 2017*